

08:11:12

## БЫСТРОДЕЙСТВУЮЩИЕ ДЕТЕКТОРЫ ВОДОРОДА НА ПОВЕРХНОСТНЫХ АКУСТИЧЕСКИХ ВОЛНАХ

© В.И.Анисимкин, И.М.Котелянский, Э.Верона

Детектирование водорода остается одной из важнейших проблем, решению которой уделяется значительное внимание<sup>[1]</sup>. Большинство работ, проводимых в этом направлении, базируется на использовании пленок Pd: их применяют в качестве газочувствительного покрытия в полевых транзисторах, туннельных диодах, акустических линиях задержки и других твердотельных устройствах. Основными недостатками датчиков на основе Pd являются из сравнительно большие времена срабатывания и нелинейность "отклика" при больших ( $> 0.5\%$ ) концентрациях водорода.

Для преодоления указанного недостатка в работах <sup>[2,3]</sup> предложено использовать сплав Pd с Ni. Изготовленные на основе этого сплава резистивные датчики водорода с соотношением элементов примерно 10:1 обладают меньшими временами срабатывания ( $\approx 100$  с) и линейным "откликом" в широком диапазоне концентраций водорода 0.1–100%.

В настоящем сообщении приводятся результаты исследования пленок Pd:Ni в датчиках на поверхностных акустических волнах (ПАВ), преимуществом которых является частотный вид "отклика". При этом, поскольку для ПАВ-датчиков особенно существенное значение приобретают процессы адсорбции и десорбции на поверхности, то в отличие от <sup>[2,3]</sup> мы начали свои исследования пленок Pd:Ni с малых концентраций никеля.

Тестовые структуры представляют собой обычные линии задержки на ПАВ с входным и выходным электромеханическими преобразователями встречно-штыревого типа и пленками Pd:Ni между ними. Подложки структур выполнены из кварцевых пластин AT-, ST- и YX-срезов размерами  $1 \times 10 \times 30$  мм.

Поликристаллические пленки Pd:Ni изготавливаются методом термического напыления в вакууме. После установки подложек в камеру, рабочий объем откачивается до предельного вакуума  $10^{-5}$  Па. Затем для очистки поверхности подложек они нагреваются до 430 К и выдерживаются при этой температуре и предельном вакууме в течение 3 часов, после чего охлаждаются до комнатной температуры. Чтобы уменьшить взаимодействие материалов плен-

Таблица 1. Параметры тестовых структур

Структура	$\lambda$ , мкм	$L$ , мм	$l$ , мм	$\varphi_0$ , град
Pd : Ni/ST-SiO <sub>2</sub>	32	20	13.7	225 000
Pd : Ni/AT-SiO <sub>2</sub>	40	12	5.75	108 000
Pd : Ni/YX-SiO <sub>2</sub>	40	12	5.75	108 000

$\lambda$  — длина волны ПАВ;  $L$  — расстояние между встречно-штыревыми преобразователями;  $l$  — протяженность пленки Pd : Ni в направлении распространения волны;  $\varphi_0$  — исходное значение фазы на выходе устройства.

ки и подложки, осаждение пленок осуществляется при комнатной температуре подложек. Палладий (99.9999%) и никель (99.99%) с весовым соотношением 20 : 1, предварительно сплавленные в предельном вакууме, распыляются из графитового тигля. Расстояние тигель—подложка — 30 см. Скорость осаждения — 1 нм/с. Параметры тестовых структур приведены в табл. 1. Толщины пленок на всех подложках — 125 нм.

Состав осажденных пленок, определенный в помощью рентгеноструктурного микроанализа, Pd<sub>0.99</sub>Ni<sub>0.1</sub>.

При проведении изменений структуры располагаются в измерительной камере (250 см<sup>3</sup>) и продуваются сухим воздухом (250 мл/мин). Затем воздух отключается и в камеру с той же скоростью подается тестируемая газовая смесь. Время наполнения камеры смесью требуемого состава около 1 мин.

При взаимодействии с водородом пленка Pd : Ni изменяет свою плотность, упругие модули, скорость распространения ПАВ  $V$  и фазу  $\varphi$  выходного сигнала. Относительное изменение скорости  $\Delta V/V = (-L/l)(\Delta\varphi/\varphi_0)$ , где  $\Delta\varphi$  измеряется анализатором четырехполюсников НР 8753А с точностью  $\pm 0.05^\circ$  ( $\Delta\varphi/\varphi_0 \approx 0.5 \cdot 10^{-6}$ ), значение  $\varphi_0$  рассчитывается согласно соотношению  $\varphi_0 = 360^\circ L/\lambda$ , а величины  $L$ ,  $\lambda$  и  $l$  задаются используемым фотошаблоном.

Таблица 2. Характеристики датчиков водорода на ПАВ

Структура	$\Delta V/V, 10^{-6}$	$t_{cp}, \text{с}$	$t_{вст}, \text{с}$
Pd : Ni/AT-SiO <sub>2</sub>	-73	140	220
Pd : Ni/ST-SiO <sub>2</sub>	+37	35	780
Pd : Ni/YX-SiO <sub>2</sub>	-25	90	250

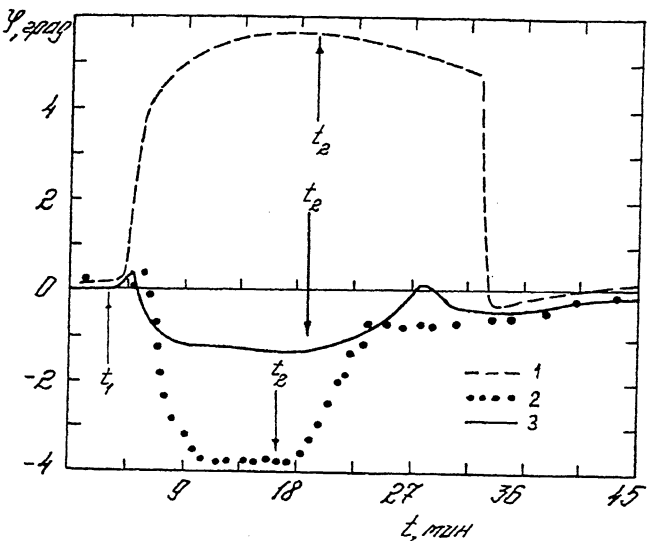


Рис. 1. Временные изменения ПАВ-“откликов” при продолжительных действиях водорода:  $t_1$  — включение газовой смеси 1%  $H_2 + N_2$ ; выключение сухого воздуха;  $t_2$  — выключение газовой смеси 1%  $H_2 + N_2$ , включение сухого воздуха. 1 — подложка ST-кварца, 2 — подложка AT-кварца, 3 — подложка YX-кварца.

Результаты измерений представлены на рис. 1, 2 и в табл. 2. Рис. 1 демонстрирует характерное для ПАВ-датчиков изменение величины, знака и скорости срабатывания датчика при переходе от одного кристаллографического среза подложки к другому [4]. Для выбранного газочувствительного покрытия и заданного газа замена подложки позволяет варьировать вклады упругой и массовой нагрузок в результирующий “отклик” ПАВ и управлять динамикой его изменения [5]. Для используемых в нашей работе структур и при длительном (13.5 мин) взаимодействии пленки с водородом, наибольшей чувствительностью (максимальным  $\Delta V/V$ ) обладает датчик на подложке AT-кварца, а наименьшим временем срабатывания  $t_{ср}$  — датчик на подложке ST-кварца. Времена восстановления датчиков  $t_{вст}$  после отключения водорода велики и в лучшем случае (AT-кварц) составляют несколько минут.

При кратковременных экспозициях водорода (10 и 30 с) времена  $t_{ср}$  и  $t_{вст}$  уменьшаются. Так, для ST-кварца они составляют 30 с и 12 мин соответственно (рис. 2). Увеличение быстродействия в этом случае связано, по нашему мнению, с “отключением” медленной диффузии адсорбированного водорода между кристаллитами пленки.

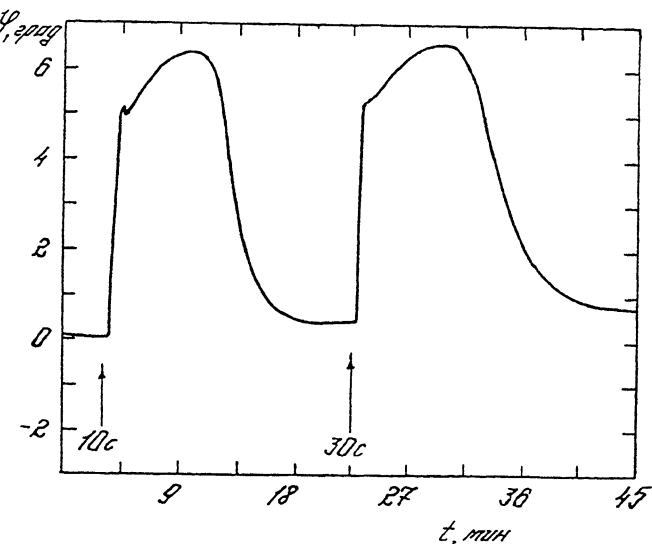


Рис. 2. Временные изменения ПАВ-“откликов” при коротковременных действиях водорода. Подложка — ST-кварц, газовая смесь — 1%  $H_2 + N_2$ . Введение сухого воздуха производится непосредственно после отключения тестируемой смеси.

Отравление пленки молекулами углекислого газа и чистого кислорода определялось путем сопоставления водородных “откликов” ПАВ непосредственно до и сразу после введения газовой смеси 1%  $CO + N_2$  и 100%  $O_2$ . Влияния кислорода не наблюдалось. Действие  $CO$  проявлялось в снижении на 20% чувствительности пленки к водороду и в ухудшении на 20% быстродействия датчика. Продувка пленки осушенным воздухом (15 ч) восстанавливала характеристики устройства. Можно предположить, что молекулы  $CO$ , адсорбируясь на пленке, препятствуют ее взаимодействию с водородом. Продувкой воздухом эти молекулы доокисляются и в виде  $CO_2$  покидают пленку, освобождая центры для взаимодействия с водородом.

ПАВ-датчики с пленками  $Pd:Ni$  сохраняют линейность во всем диапазоне концентраций водорода 0.1–1%, используемых в работе.

По сравнению с аналогичными устройствами на основе пленок чистого  $Pd$  [5], датчики на ПАВ с пленками  $Pd:Ni$  обладают по крайней мере в несколько раз большим быстродействием, но меньшей сопротивляемостью к  $CO$ . Чувствительность обоих датчиков к водороду примерно одинакова. Сравнение пленок  $Pd$  и  $Pd:Ni$  по их естественному старению находится в процессе изучения.

Данная работа поддержана проектом Миннауки РФ и  
НАТО грантом.

### Список литературы

- [1] *Mandelis A., Christofides C.* // Chemical Analysis. V. 125. Physics, chemistry and technology of solid state sensor devices. New York; Toronto; Singapore: Wiley-Interscience Publication, 1993. 323 p.
- [2] *Hughes R.C., Schubert W.K.* // J. Appl. Phys. 1992. V. 71. N 1. P. 542-544.
- [3] *Chen Y.-T., Li Y., Lisi D. et al.* // Sensors and Actuators. 1996. V. B30. P. 11-16.
- [4] *Anisimkin V.I., Kotelyanskii I.M., Fedosov V.I. et al.* // Proc. IEEE Ultrason. Symp. Seattle. 1995. P. 515-518.
- [5] *Anisimkin V.I., Kotelyanskii I.M., Fedosov V.I. et al.* // Proc. IEEE Ultrason. Symp. San Antonio, 1996 (в печати).

Институт радиотехники  
и электроники РАН  
Москва

Институт акустики  
им. О.М.Корбино,  
СНИ, Рим

Поступило в Редакцию  
20 августа 1996 г.